

# Слайновые представления

Быковских Дмитрий Александрович

26.10.2024

# Введение

## Мотивация построения собственного вида функций

### Входные данные

- ограниченное количество;
- полностью известны.

### Особенность входных данных

- Табличные данные;
- Сложная функция;

Примечание. Неточность результатов эксперимента.

### Приближенные решения

1. Аппроксимация
2. Интерполяция
3. Экстраполяция
4. Ретрополяция

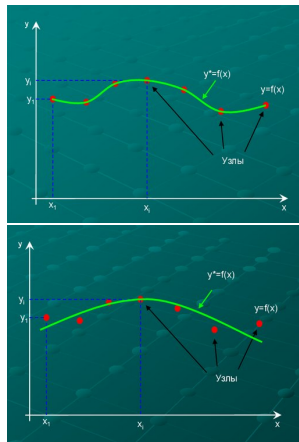


Рис. 1: Аппроксимация и интерполяция

2024-10-25

## Сплаины

### Интерполяция

### Введение

Основное различие между этими методами заключается в том, где и как они применяются относительно существующего набора данных:

1. интерполяция работает внутри диапазона,
2. аппроксимация стремится к общему соответствию,
3. экстраполяция и ретрополяция идут за пределы известного диапазона.

Введение  
Мотивация построения собственного вида функций

Входные данные:

- ограниченное количество;
- полностью известны.

Особенность входных данных:

- Табличные данные;
- Сложная функция;

Примечание. Неточность результатов эксперимента.

Приближенные решения:

- Аппроксимация
- Интерполяция
- Экстраполяция
- Ретрополяция

Рис. 1: Аппроксимация и интерполяция

# Сплайн

Слово сплайн (англ. "spline") использовалось для обозначения гибких, изогнутых листов дерева или металла, которые могли использоваться в различных инженерных и строительных приложениях.

2024-10-25

Сплайны  
└─ Сплайн

└─ Сплайн

Слово сплайн (англ. "spline") использовалось для обозначения гибких, изогнутых листов дерева или металла, которые могли использоваться в различных инженерных и строительных приложениях.

Слово "сплайн" произошло от английского термина "spline". Этот термин, вероятно, образован от слова "сплен" (spline) в шотландском диалекте, которое означает "планка" или "листок дерева". В начале 20 века в англоязычной литературе оно использовалось для обозначения гибких, изогнутых листов дерева или металла, которые могли использоваться в различных инженерных и строительных приложениях.

Слово "сплайн" было впервые введено в математике и компьютерной графике для обозначения методов интерполяции и аппроксимации кривых, которые используют гладкие сегменты, напоминающие изогнутые листы. Эти методы стали называться "сплайнами" из-за аналогии с гибкими листьями или планками, которые могли быть использованы для создания гладких кривых.

# Общее описание

Кусочно-гладкая полиномиальная система — параметрическая система уравнений.

Контрольный граф (характеристический многоугольник) — ломанная линия, соединяющая последовательности точек сплайновой кривой.

Параметры сплайна

- степень полинома;
- положение узловых (или опорных) точек

Методы определения сплайна:

- матрица, характеризующая сплайн;
- набор базисных (или стыковочных) функций;
- набор граничных условий.

2024-10-25

Сплайны  
└ Сплайн

└ Общее описание

Общее описание

Кусочно-гладкая полиномиальная система — параметрическая система уравнений.  
Контрольный граф (характеристический многоугольник) — ломанная линия, соединяющая последовательности точек сплайновой кривой.  
Параметры сплайна

- степень полинома;
  - положение узловых (или опорных) точек
- Методы определения сплайна:
- матрица, характеризующая сплайн;
  - набор базисных (или стыковочных) функций;
  - набор граничных условий.

Способы задания и представления  
Явное

$$\begin{cases} x = x \\ y = f(x) \\ z = g(x) \end{cases}$$

Значения новых переменных  $y, z$  определяется  $x$

Неявное

$$\begin{cases} f(x, y, z) = 0 \\ g(x, y, z) = 0 \end{cases}$$

Одну из переменных  $x, y, z$  не всегда удается выразить.

Параметрическое

$$\begin{cases} x = x(t) \\ y = y(t) \\ z = z(t) \end{cases}$$

вводится новая переменная  $t$ .

# Матрица, характеризующая сплайн

$$P(u) = au^3 + bu^2 + cu + d = UC$$

$$\begin{cases} P_x(u) = a_x u^3 + b_x u^2 + c_x u + d_x \\ P_y(u) = a_y u^3 + b_y u^2 + c_y u + d_y \\ P_z(u) = a_z u^3 + b_z u^2 + c_z u + d_z \end{cases},$$

где  $u \in [0, 1]$ .

2024-10-25

Слайны  
└ Слайн

└ Матрица, характеризующая сплайн

Матрица, характеризующая сплайн

$$P(u) = au^3 + bu^2 + cu + d = UC$$

$$\begin{cases} P_x(u) = a_x u^3 + b_x u^2 + c_x u + d_x \\ P_y(u) = a_y u^3 + b_y u^2 + c_y u + d_y \\ P_z(u) = a_z u^3 + b_z u^2 + c_z u + d_z \end{cases},$$

где  $u \in [0, 1]$ .

$$x(u) = \begin{bmatrix} u^3 \\ u^2 \\ u \\ 1 \end{bmatrix}^T \begin{bmatrix} a_x \\ b_x \\ c_x \\ d_x \end{bmatrix} \quad y(u) = \begin{bmatrix} u^3 \\ u^2 \\ u \\ 1 \end{bmatrix}^T \begin{bmatrix} a_y \\ b_y \\ c_y \\ d_y \end{bmatrix} \quad z(u) = \begin{bmatrix} u^3 \\ u^2 \\ u \\ 1 \end{bmatrix}^T \begin{bmatrix} a_z \\ b_z \\ c_z \\ d_z \end{bmatrix}$$

$$P(u) = UC$$

# Граничные условия

## Параметрические условия непрерывности

- 0-го порядка  $C^0$   
одинаковые координаты в граничных точках  
 $P_j(1) = P_{j+1}(0)$
- 1-го порядка  $C^1$   
первые производные пропорциональны в т. пересечения  
 $P_j^{(1)}(1) = P_{j+1}^{(1)}(0)$
- 2-го порядка  $C^2$   
вторые производные пропорциональны в т. пересечения  
 $P_j^{(2)}(1) = P_{j+1}^{(2)}(0)$

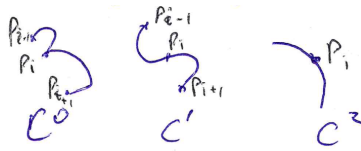


Рис. 2: Различие граничных условий

2024-10-25

Слайны  
Слайн

Граничные условия

## Условия геометрической непрерывности

- 0-го порядка  $G^0$   
одинаковые координаты в граничных точках  
 $P_j(1) = P_{j+1}(0)$
- 1-го порядка  $G^1$   
первые производные пропорциональны в т. пересечения  
 $\text{sign}(P_j^{(1)}(1)) = \text{sign}(P_{j+1}^{(1)}(0))$
- 2-го порядка  $G^2$   
второе производные пропорциональны в т. пересечения  
 $\text{sign}(P_j^{(2)}(1)) = \text{sign}(P_{j+1}^{(2)}(0))$

Граничные условия

Параметрические условия непрерывности

- 0-го порядка  $C^0$   
одинаковые координаты в граничных точках  
 $P_j(1) = P_{j+1}(0)$
- 1-го порядка  $C^1$   
первые производные пропорциональны в т. пересечения  
 $P_j^{(1)}(1) = P_{j+1}^{(1)}(0)$
- 2-го порядка  $C^2$   
вторые производные пропорциональны в т. пересечения  
 $P_j^{(2)}(1) = P_{j+1}^{(2)}(0)$



Рис. 2: Различие граничных условий

# Сплайн

## Пространственные кривые

### Классификация

- ❶ Построение кривых, проходящих через заданные точки
  - ❶ Естественный сплайн;
  - ❷ Эрмитов сплайн;
- ❷ Построение кривых, заданных направлением изгиба
  - ❶ Кривая Безье;
  - ❷ В-сплайн.

2024-10-25

Сплайны  
└─ Сплайн

└─ Сплайн

Высокая степень полинома приводит к тому, что можно получить сильные колебания (осцилляции)

## Классификация

- ❶ Построение кривых, проходящих через заданные точки
  - ❶ Естественный сплайн;
  - ❷ Эрмитов сплайн;
- ❷ Построение кривых, заданных направлением изгиба
  - ❶ Кривая Безье;
  - ❷ В-сплайн.

# Естественный сплайн

Рассмотрим подробнее, как находить коэффициенты вектора  $C_x$ .

$$P_x(u) = UC_x$$

$$P_x(u) = \begin{bmatrix} u^3 \\ u^2 \\ u \\ 1 \end{bmatrix}^T \begin{bmatrix} a_x \\ b_x \\ c_x \\ d_x \end{bmatrix}$$

Построим следующую систему уравнений

$$\begin{cases} P_{x,i} = P_x(0) = a_x 0^3 + b_x 0^2 + c_x 0 + d_x \\ P_{x,i+1} = P_x(1/3) = a_x (1/3)^3 + b_x (1/3)^2 + c_x 1/3 + d_x \\ P_{x,i+2} = P_x(2/3) = a_x (2/3)^3 + b_x (2/3)^2 + c_x 2/3 + d_x \\ P_{x,i+3} = P_x(1) = a_x 1^3 + b_x 1^2 + c_x 1 + d_x \end{cases}$$

$$P_x = AC_x$$

Слайны  
└ Слайн

└ Естественный сплайн

Естественный сплайн

Рассмотрим подробнее, как находить коэффициенты вектора  $C_x$ .

$$P_x(u) = UC_x$$

$$P_x(u) = \begin{bmatrix} u^3 \\ u^2 \\ u \\ 1 \end{bmatrix}^T \begin{bmatrix} a_x \\ b_x \\ c_x \\ d_x \end{bmatrix}$$

Построим следующую систему уравнений

$$\begin{cases} P_{x,i} = P_x(0) = a_x 0^3 + b_x 0^2 + c_x 0 + d_x \\ P_{x,i+1} = P_x(1/3) = a_x (1/3)^3 + b_x (1/3)^2 + c_x 1/3 + d_x \\ P_{x,i+2} = P_x(2/3) = a_x (2/3)^3 + b_x (2/3)^2 + c_x 2/3 + d_x \\ P_{x,i+3} = P_x(1) = a_x 1^3 + b_x 1^2 + c_x 1 + d_x \end{cases}$$

$$P_x = AC_x$$

$$\begin{bmatrix} P_{x,i} \\ P_{x,i+1} \\ P_{x,i+2} \\ P_{x,i+3} \end{bmatrix} = \begin{bmatrix} 0 & 0 & 0 & 1 \\ (1/3)^3 & (1/3)^2 & 1/3 & 1 \\ (2/3)^3 & (2/3)^2 & 2/3 & 1 \\ 1^3 & 1^2 & 1 & 1 \end{bmatrix} \begin{bmatrix} a_x \\ b_x \\ c_x \\ d_x \end{bmatrix}$$

$$P_x = AC_x$$

$$A^{-1}P_x = A^{-1}AC_x$$

$$A^{-1}P_x = EC_x$$

$$C_x = A^{-1}P_x$$

$$\begin{bmatrix} 0 & 0 & 0 & 1 \\ (1/3)^3 & (1/3)^2 & 1/3 & 1 \\ (2/3)^3 & (2/3)^2 & 2/3 & 1 \\ 1^3 & 1^2 & 1 & 1 \end{bmatrix}^{-1} \begin{bmatrix} P_{x,i} \\ P_{x,i+1} \\ P_{x,i+2} \\ P_{x,i+3} \end{bmatrix} = \begin{bmatrix} a_x \\ b_x \\ c_x \\ d_x \end{bmatrix}$$



## Charles Hermite

Эрмитов сплайн — вид кусочно-полиномиальной кривой, которая задается точками данных и значениями производных в этих точках. Рассмотрим подробнее, как находить коэффициенты вектора  $C_\gamma$ .

$$P_y(u) = u^3 a_y + u^2 b_y + u c_y + d_y$$

$$(P_y)'_u(u) = P'_y(u) = 3u^2 a_y + 2ub_y + c_y + 0$$

$$\begin{cases} P_y(0) = P_{y,k} = 0^3 a_y + 0^2 b_y + 0 c_y + d_y \\ P_y(1) = P_{y,k+1} = 1^3 a_y + 1^2 b_y + 1 c_y + d_y \\ P'_y(0) = P'_{y,k} = 3 \cdot 0^2 a_y + 2 \cdot 0 b_y + c_y \\ P'_y(1) = P'_{y,k+1} = 3 \cdot 1^2 a_y + 2 \cdot 1 b_y + c_y \end{cases}$$

## └ Эрмитова интерполяция

$$\begin{bmatrix} P_{y,k} \\ P_{y,k+1} \\ P'_{y,k} \\ P'_{y,k+1} \end{bmatrix} = \begin{bmatrix} 0 & 0 & 0 & 1 \\ 1 & 1 & 1 & 1 \\ 0 & 0 & 1 & 0 \\ 3 & 2 & 1 & 0 \end{bmatrix} \begin{bmatrix} a_y \\ b_y \\ c_y \\ d_y \end{bmatrix}$$

$$\begin{bmatrix} a_y \\ b_y \\ c_y \\ d_y \end{bmatrix} = \begin{bmatrix} 0 & 0 & 0 & 1 \\ 1 & 1 & 1 & 1 \\ 0 & 0 & 1 & 0 \\ 3 & 2 & 1 & 0 \end{bmatrix}^{-1} \begin{bmatrix} P_{y,k} \\ P_{y,k+1} \\ P'_{y,k} \\ P'_{y,k+1} \end{bmatrix}$$

$$\begin{bmatrix} a_y \\ b_y \\ c_y \\ d_y \end{bmatrix} = \begin{bmatrix} 2 & -2 & 1 & 1 \\ -3 & 3 & -2 & -1 \\ 0 & 0 & 1 & 0 \\ 1 & 0 & 0 & 0 \end{bmatrix} \begin{bmatrix} P_{y,k} \\ P_{y,k+1} \\ P'_{y,k} \\ P'_{y,k+1} \end{bmatrix}$$

Эрмитов слайд — вид кусочно-полиномиальной кривой, которая задается точками данных и значениями производных в этих точках. Рассмотрим подробнее, как находить коэффициенты вектора  $C_r$ .

$$P_y(u) = u^3 a_y + u^2 b_y + u c_y + d_y$$

$$(P_f)'_u(u) = P'_f(u) = 3u^2a_y + 2ub_y + c_y + 0$$

$$\begin{cases} P_y(0) = P_{y,k} = 0^3 a_y + 0^2 b_y + 0 c_y + d_y \\ P_y(1) = P_{y,k+1} = 1^3 a_y + 1^2 b_y + 1 c_y + d_y \\ P'_y(0) = P'_{y,k} = 3 \cdot 0^2 a_y + 2 \cdot 0 b_y + c_y \\ P'_y(1) = P'_{y,k+1} = 3 \cdot 1^2 a_y + 2 \cdot 1 b_y + c_y \end{cases}$$

## Pierre Bezier

Кривая Безье — это математическое представление кривой, определенной с использованием параметрических уравнений.

$$P_n(u) = \sum_{k=0}^n P_k B_k(u),$$

где

$B_k(u)$  — глобальный базис;

$P_k$  — узловые точки;

$n$  — степень полинома;

$$u \in [0, 1].$$

$$B_k(u) = C_n^k u^k (1-u)^{n-k}$$

Примечание.

Формула основана на биноме Ньютонa

2024-10-25

Слайны  
└─ Слайн

## Сплайновые кривые Безье

## Слайновые кривые Безье

Pierre Bazier

Кривая Безье — это математическое представление кривой, определенной с использованием параметрических уравнений

$$P_{\omega}(u) = \sum_{k=0}^n P_k B_k(u),$$

628

$B_k(u)$  — глобальный базис;

$P_k$  — узловые точки;

$d$  — степень полинома,  
 $\mu \in [0, 1]$ .

100

$$B_k(u) = C_k^k u^k (1-u)^{n-k}$$

Примечание

Формула основана на биноме Ньютонa

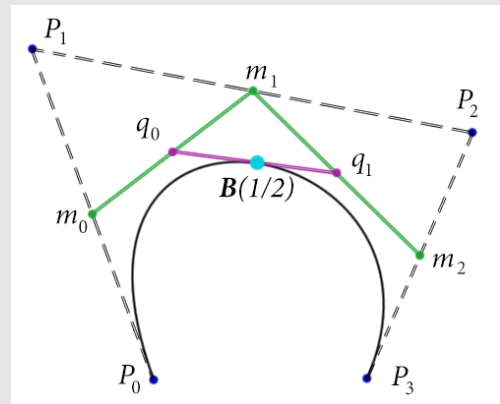


Рис. 3: Схема построения кривой Безье

# Сплайновые кривые Безье

## Пример

$$n = 1$$

$$P(u) = P_0 C_1^0 u^0 (1-u)^1 + P_1 C_1^1 u^1 (1-u)^0$$

$$P(u) = P_0(1-u) + P_1 u = P_0 + (P_1 - P_0)u$$

$$n = 2$$

$$P(u) = P_0 C_2^0 u^0 (1-u)^2 + P_1 C_2^1 u^1 (1-u)^1 + P_2 C_2^2 u^2 (1-u)^0$$

$$P(u) = P_0(1-u)^2 + 2P_1 u(1-u) + P_2 u^2$$

$$n = 3$$

$$P(u) = P_0(1-u)^3 + P_1 3u(1-u)^2 + P_2 3u^2(1-u) + P_3 u^3$$

$$P(u) = P_0(1-u)^3 + P_1 3u(1-u)^2 + P_2 3u^2(1-u) + P_3 u^3$$

2024-10-25

Сплайны  
└ Сплайн

└ Сплайновые кривые Безье

$$n = 1$$

$$P(u) = P_0 C_1^0 u^0 (1-u)^1 + P_1 C_1^1 u^1 (1-u)^0$$

$$P(u) = P_0(1-u) + P_1 u = P_0 + (P_1 - P_0)u$$

$$n = 2$$

$$P(u) = P_0 C_2^0 u^0 (1-u)^2 + P_1 C_2^1 u^1 (1-u)^1 + P_2 C_2^2 u^2 (1-u)^0$$

$$P(u) = P_0(1-u)^2 + 2P_1 u(1-u) + P_2 u^2$$

$$n = 3$$

$$P(u) = P_0(1-u)^3 + P_1 3u(1-u)^2 + P_2 3u^2(1-u) + P_3 u^3$$

$$P(u) = P_0(1-u)^3 + P_1 3u(1-u)^2 + P_2 3u^2(1-u) + P_3 u^3$$

## Свойства

- Глобальный контроль: Изменения в контрольных точках кривой Безье оказывают влияние на форму всей кривой.
- Степень кривой: Степень кривой Безье определяется числом контрольных точек минус один. Таким образом, для  $n + 1$  точек степень кривой будет  $n$ .
- Инвариантность относительно линейных преобразований: Кривые Безье сохраняют свою форму при линейных преобразованиях, таких как сжатие, вращение и перенос.
- Выпуклость: Кривые Безье всегда остаются в пределах выпуклой оболочки своих контрольных точек (глобальный базис).
- Касательные в начальной и конечной точках: Касательные к кривой в начальной и конечной точках совпадают с линиями, соединяющими соответствующие контрольные точки.

## В-сплайн

## B-spline

В-сплайн — кусочно-полиномиальная кривая, определенная с использованием базисных функций.

$$P_k(u) = \sum_{i=0}^n P_i N_{i,k}(t),$$

где  $N_{i,k}(t)$  — локальный базис;  $P_i$  — узловые точки;  
 $k$  — степень полинома;  $t \in [t_{min}; t_{max}]$ .

Рекуррентные формулы Кокса-де Бура

$$N_{i,0}(t) = \begin{cases} 1, & \text{если } t \in [t_i; t_{i+1}) \\ 0, & \text{иначе} \end{cases}$$

$$N_{i,k}(t) = N_{i,k-1}(t) \frac{t - t_i}{t_{i+k} - t_i} + N_{i+1,k-1}(t) \frac{t_{i+1+k} - t}{t_{i+1+k} - t_{i+1}}$$

2024-10-25

Сплайны  
└ Сплайн

└ В-сплайн

В-сплайн  
B-spline

В-сплайн — кусочно-полиномиальная кривая, определенная с использованием базисных функций.

$$P_k(u) = \sum_{i=0}^n P_i N_{i,k}(t),$$

где  $N_{i,k}(t)$  — локальный базис;  $P_i$  — узловые точки; $k$  — степень полинома;  $t \in [t_{min}; t_{max}]$ ;

Рекуррентные формулы Кокса-де Бура

$$N_{i,0}(t) = \begin{cases} 1, & \text{если } t \in [t_i; t_{i+1}) \\ 0, & \text{иначе} \end{cases}$$

$$N_{i,k}(t) = N_{i,k-1}(t) \frac{t - t_i}{t_{i+k} - t_i} + N_{i+1,k-1}(t) \frac{t_{i+1+k} - t}{t_{i+1+k} - t_{i+1}}$$

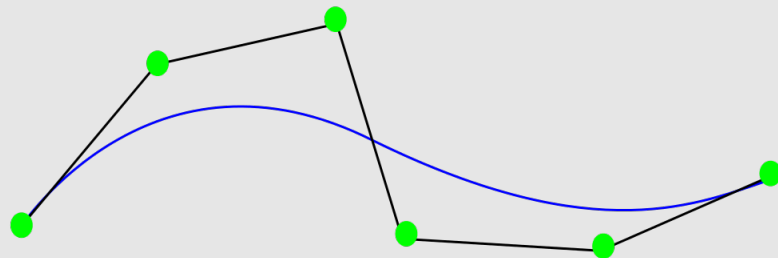


Рис. 4: B-spline

## В-сплайн

## Пример

Пусть даны три точки  $P_0, P_1, P_2$  и вектор  $T = [t_0, t_1, \dots, t_i, \dots, t_5]$ , где  $t_i \leq t_{i+1}$ .

x	/	2	4
y	/	3	3

$$T = [0, 0, 1, 2, 3, 3]$$

Тогда

$n + 1 = 3$  — число узловых точек;

$m + 1 = 6$  — число элементов вектора T;

$m - (n + 1) = 2$  — степень полинома.

Схема

константы	$N_{i,0}$	$N_{0,0}$	$N_{1,0}$	$N_{2,0}$	$N_{3,0}$	$N_{4,0}$
полином 1-й степени	$N_{i,1}$	$N_{0,1}$	$N_{1,1}$	$N_{2,1}$	$N_{3,1}$	
полином 2-й степени	$N_{i,2}$	$N_{0,2}$	$N_{1,2}$	$N_{2,2}$		

2024-10-25

Сплайны  
└ Сплайн

└ В-сплайн

В-сплайн

Пример

Пусть даны три точки  $P_0, P_1, P_2$  и вектор  $T = [t_0, t_1, \dots, t_i, \dots, t_5]$ , где  $t_i \leq t_{i+1}$ .

x	/	2	4
y	/	3	3

$$T = [0, 0, 1, 2, 3, 3]$$

Тогда

$n + 1 = 3$  — число узловых точек;

$m + 1 = 6$  — число элементов вектора T;

$m - (n + 1) = 2$  — степень полинома.

Схема

константы	$N_{i,0}$	$N_{0,0}$	$N_{1,0}$	$N_{2,0}$	$N_{3,0}$	$N_{4,0}$
полином 1-й степени	$N_{i,1}$	$N_{0,1}$	$N_{1,1}$	$N_{2,1}$	$N_{3,1}$	
полином 2-й степени	$N_{i,2}$	$N_{0,2}$	$N_{1,2}$	$N_{2,2}$		

$$N_{0,0} = 0$$

$$N_{1,0} = 1, t \in [0, 1)$$

$$N_{2,0} = 1, t \in [1, 2)$$

$$N_{3,0} = 1, t \in [2, 3)$$

$$N_{4,0} = 0$$

$$N_{0,1}(t) = N_{0,0}(t) \frac{t - t_0}{t_1 - t_0} + N_{1,0}(t) \frac{t_2 - t}{t_2 - t_1} =$$

$$= \begin{cases} 0 \cdot \frac{t}{0}, & t \in [0, 0) \\ 1 \cdot \frac{1-t}{1}, & t \in [0, 1) \end{cases} = \begin{cases} 0, & t \in [0, 0) \\ 1 - t, & t \in [0, 1) \end{cases}$$

...

## В-сплайн

## Пример

Итоговое выражение в общем виде

$$P(t) = P_0 N_{0,2}(t) + P_1 N_{1,2}(t) + P_2 N_{2,2}(t)$$

или подробнее

$$\begin{cases} P_x(t) = (P_0)_x N_{0,2}(t) + (P_1)_x N_{1,2}(t) + (P_2)_x N_{2,2}(t) \\ P_y(t) = (P_0)_y N_{0,2}(t) + (P_1)_y N_{1,2}(t) + (P_2)_y N_{2,2}(t) \end{cases},$$

где рекуррентные формулы будут иметь вид

$$N_{i,2}(t) = \begin{cases} \dots, & t \in [0, 1) \\ \dots, & t \in [1, 2) \\ \dots, & t \in [2, 3) \end{cases}$$

2024-10-25

Сплайны  
└ Сплайн

└ В-сплайн

В-сплайн  
Пример

Итоговое выражение в общем виде

$$P(t) = P_0 N_{0,2}(t) + P_1 N_{1,2}(t) + P_2 N_{2,2}(t)$$

или подробнее

$$\begin{cases} P_x(t) = (P_0)_x N_{0,2}(t) + (P_1)_x N_{1,2}(t) + (P_2)_x N_{2,2}(t) \\ P_y(t) = (P_0)_y N_{0,2}(t) + (P_1)_y N_{1,2}(t) + (P_2)_y N_{2,2}(t) \end{cases}$$

где рекуррентные формулы будут иметь вид

$$N_{i,2}(t) = \begin{cases} \dots, & t \in [0, 1) \\ \dots, & t \in [1, 2) \\ \dots, & t \in [2, 3) \end{cases}$$

Свойства:

- Сумма  $\sum_{i=0}^n N_{i,k}(t) \equiv 1$ ;  $N_{i,k}(t) \geq 0$  при  $\forall t \in [t_{min}, t_{max}]$ ;
- Перемещение: чтобы применить к кривой любое аффинное преобразование необходимо применить его к вершинным определяющим многоугольникам;
- Кусочная гладкость: обеспечивают гладкость на границах сегментов и обеспечивают непрерывность определенного порядка на всей кривой.
- Локальная модификация: Изменения в контрольных точках В-сплайна оказывают влияние только на ограниченный сегмент кривой, что делает их удобными для локальных модификаций.
- Вариативность степени и узлов: могут иметь разные степени и распределение узлов, что позволяет легко адаптировать их к различным требованиям.
- Контроль над кривой: Контроль над формой кривой обеспечивается не только контрольными точками, но и базисными функциями, что делает их более гибкими.